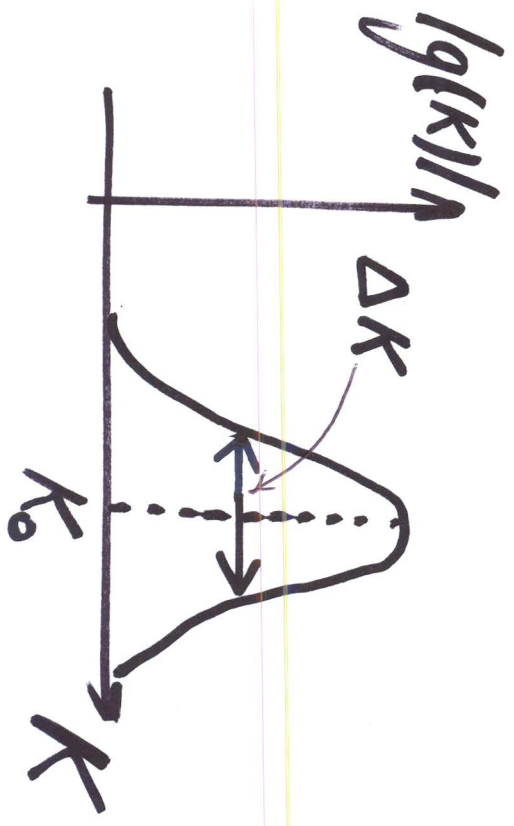


T.C.C. Forma de Dacote de onda num doce instantâneo

$$\text{Lembrando que } \mathcal{F}(x,0) = \frac{1}{\sqrt{2\pi}} \int g(k) e^{ikx} dk$$

Vamos assumir que  $\|g(k)\|$  tem a forma:



Caso mais simples:  $\mathcal{H}(x, 0) = \mathcal{H}(x)$  e' a superposicao de ondas planas:

$$k_0, k_0 - \frac{\Delta K}{2}, k_0 + \frac{\Delta K}{2}, \text{ com amplitudes: } 1, \frac{1}{2}, \frac{1}{2}$$

$$\text{Ou seja: } \mathcal{H}(x) = \frac{g(k_0)}{\sqrt{2\pi}} \left[ e^{ik_0 x} + \frac{1}{2} e^{i(k_0 - \frac{\Delta K}{2})x} + \frac{1}{2} e^{i(k_0 + \frac{\Delta K}{2})x} \right] = \frac{g(k_0)}{\sqrt{2\pi}} e^{ik_0 x} \left[ 1 + \cos\left(\frac{\Delta K}{2}x\right) \right]$$

Da figura 4 temos:

- \*  $| \mathcal{H}(x) |$  e' maximo em  $x=0$
- \* Interferencia destrutiva quando nos afastamos de  $x=0$

\* Quando  $x = \frac{x + \Delta x}{2}$  com  $\Delta x, \Delta k = 4\pi$  temos  
 $|\mathcal{H}(x)| = 0$ , ou seja, interferência destrutiva total!

\* As larguras  $\Delta k$  de  $|g(k)|$  e  $\Delta x$  de  $|\mathcal{H}(x)|$  são inversamente proporcionais

Voltando ao caso geral, seja:  $g(k) = |\mathcal{H}(k)| \propto |\alpha(k)|$   
Se  $\alpha(k)$  varia suavemente em  $[k_0 - \frac{\Delta k}{2}, k_0 + \frac{\Delta k}{2}]$ ,  
onde  $|g(k)|$  é apreciável, podemos expandir  $\alpha(k)$   
em torno de  $k=k_0$ :  $\alpha(k) \approx \alpha(k_0) + (k-k_0) \frac{d\alpha}{dk} \Big|_{k=k_0}$

$$-x_0$$


Substituindo em  $\mathcal{F}(x_0)$  temos:

$$\begin{aligned}\mathcal{F}(x_0) &= \frac{1}{\sqrt{\pi}} \int_{-\infty}^{\infty} g(k) e^{ikx} dk \\ &= \frac{1}{\sqrt{\pi}} \int_{-\infty}^{\infty} |g(k)| e^{i[\alpha(k_0) + (k-k_0)(-x_0)]} e^{ikx} dk \\ &= \frac{1}{\sqrt{\pi}} \left( \int_{-\infty}^{\alpha} |g(k)| e^{i((k_0 + \alpha(k_0))(x - x_0))} dk \right) e^{i((k_0 + \alpha(k_0)))}\end{aligned}$$

Somando e subtraindo  $i k_0 x$  na exponencial temos:

$$= \frac{1}{\sqrt{\pi}} \left( \int_{-\infty}^{\alpha} |g(k)| e^{i((k+k_0)(x-x_0))} dk \right) e^{i((k_0 + \alpha(k_0)))}$$

Na fig. 5 vemos que, quando  $x$  se afasta de  $x_0$ ,  $f'(x, 0)$  decresce. Essa queda se torna apreciável se  $e^{i(\bar{k} \cdot \vec{k})(x - x_0)}$  oscila proximamente uma vez quando  $K$  atravessa o domínio  $\Delta K$ .

Isso ocorre quando:  $\Delta K \cdot (x - x_0) \approx 1$

(nota:  $K = 2\pi/\lambda$ , ou seja, está em unidades de  $2\pi$ , que é o período de uma oscilação da fase complexa pura. Por isso a relação acima é " $\approx 1$ ".)

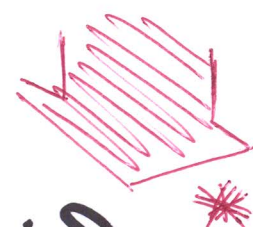
Se  $\Delta x$  é uma distância a largura do pacote de ondas, temos:  $\Delta K \Delta x \gtrsim 1$

O fato importante é que  $\Delta x \cdot \Delta k$  está limitado por baixo. O valor exato do limite depende da definição detalhada das larguras  $\Delta x$  e  $\Delta k$ .

Concluímos então que nosso pacote de ondas representa uma partícula cuja probabilidade de presença, num dado instante, é praticamente zero fora de um intervalo de largura aproximada  $\Delta x$  em torno de  $x_0$ .

### T.C.3 - A relação de incerteza de Heisenberg

Onda plana



\* densidade de probabilidade constante ao longo do eixo  $Ox$ , para todo

instante  $t$

$$\Delta x = \infty$$

\* caracterizada por  $\omega_0$  e  $k_0$   $\rightarrow E = \hbar\omega_0 / \rho = \hbar k_0$

Logo energia e momento bem definidos e delta de Dirac

$$g(k) = \delta(k - k_0)$$

$$ikx$$

auto vetor correspondente

$$\rho = \hbar/k \quad \text{auto valor}$$

$$\star$$

$$\star$$

$$\star$$

$$\star$$

$$\star$$

$$\star$$

$$\star$$

$$\star$$

Todos os valores de  $k$  são permitidos ( $k \in \mathbb{R}$ ), logo não há quantização.

$\star$

Temos então a seguinte interpretação:

$$\mathcal{F}(x,0) = \frac{1}{\sqrt{2\pi}} \int_{-\infty}^{+\infty} g(k) e^{ikx} dk$$

"soma"

autovetores

+ decomposição espectral de  $\mathcal{F}(x,0)$

É comum reescrever esta relação em termos de  $\rho = \hbar/\kappa$   ~~$\rightarrow$~~   $d\rho = \hbar dk$ . Substituindo:

$$\mathcal{F}(x,0) = \frac{1}{\sqrt{2\pi}} \int g(k) e^{\frac{i\hbar kx}{\hbar}} dk = \frac{1}{\sqrt{2\pi\hbar}} \int \hat{\mathcal{F}}(\rho) e^{\frac{i\hbar kx}{\hbar}} dk = \frac{1}{\sqrt{2\pi\hbar}} \int \hat{\mathcal{F}}(\rho) e^{\frac{i\rho x}{\hbar}} d\rho$$

coefficientes autovetores

$\mathcal{H}(x, 0)$  e  $\mathcal{H}(\rho)$  são a transformada de Fourier de uma da outra (ver Apêndice I). A transformada de Fourier é uma generalização da série de Fourier onde a função não precisa ser periódica. Pode-se mostrar a relação de Peschl-Parserval:

$$\int_{-\infty}^{\infty} |\mathcal{H}(x, 0)|^2 dx = \int_{-\infty}^{\infty} |\bar{\mathcal{H}}(\rho)|^2 d\rho = C.$$

Definindo  $d\mathcal{P}(x) = \frac{1}{C} |\mathcal{H}(x, 0)|^2 dx$ , temos a probabilidade de encontrar a partícula entre  $x \in [x_0, x_1]$ , no instante  $t=0$ . Analogamente:  $d\bar{\mathcal{P}}(\rho) = \frac{1}{C} |\bar{\mathcal{H}}(\rho)|^2 d\rho$  para a probabilidade do momento  $\rho$ .

o desigma/dade  $\Delta x \Delta K \geq 1$  do item

Jo demos reescreve?/a como:

$$\cancel{\Delta K} \geq 1$$

$\Delta x \Delta p \geq \hbar$  "relocação da incerteza incerteza impossível no momento de Heisenberg"

$\hbar \Delta K^c$  a largura da curva de  $|\Psi(p)|$ . Como  $\hbar$  é muito pequeno, consequências para física clássica, ou c/ássico.

## I-C-4 A evolução temporal de um pacote de onda livre

A velocidade de fase da onda plana  $c$ :

$$V_\phi(k) = \frac{\lambda}{T} = \frac{\lambda}{2\pi} \frac{2\pi}{T} = \frac{w}{k}$$

Para a  $U^2$ :

\* no vácuo:  $V_\phi = c \rightarrow$  não depende de  $k$ , logo o pacote se move como um todo e não ocorre dispersão

\* num meio:  $V_\phi = \frac{c}{n(k)} \rightarrow$  índice de refração do meio ocorre dispersão

Nosso caso é equivalente ao meio dispersivo:

$$V_\phi(k) = \frac{w}{k} = \frac{\hbar k^2}{2m} \frac{1}{k} = \frac{\hbar k}{2m}$$

Devido à dispersão, a velocidade do máximo  
da probabilidade de onda não é igual à velocidade  
de fase média  $\frac{w_0}{k_0} = \frac{\hbar k_0}{2m}$ .

Retornando ao exemplo de soma de três ondas  
planas. Para um instante arbitrário  $t$  temos:

$$\psi(x,t) = \frac{q(k_0)}{\sqrt{2\pi}} \left\{ e^{i(k_0 x - w_0 t)} + \frac{1}{2} e^{i[(k_0 - \frac{\Delta K}{2})x - (w_0 - \frac{\Delta w}{2})t]} \right.$$

$$+ \frac{1}{2} e^{i[(k_0 + \frac{\Delta K}{2})x - (w_0 + \frac{\Delta w}{2})t]}\} =$$

$$= \frac{q(k_0)}{\sqrt{2\pi}} e^{i(k_0 x - w_0 t)} \left[ 1 + \cos\left(\frac{\Delta K}{2}x - \frac{\Delta w}{2}t\right)\right]$$

Logo, o máximo está no ponto  $x_m(t) = \frac{\Delta\omega}{\Delta k} t$   
 (o qual anula o argumento da cosseno) e não no  
 ponto  $x = \frac{w_0}{k_0} t$  (o qual anula o argumento da expn.).

A Fig 6 ilustra esse fato.

Em analogia com o item I.C.2 temos, para  
 o caso geral:  $\mathcal{U}(x,t) = \frac{1}{\sqrt{2\pi}} \int_{-\infty}^{\infty} g(k) e^{i[kx - w_k t]} dk$

$$= \frac{1}{\sqrt{2\pi}} \int_{-\infty}^{\infty} |g(k)| e^{i[\alpha(k) - i\omega(k)t] k} dk$$

$$e^{\cancel{i[\int \alpha(k) - \omega(k)t] k}}$$

Novo  $\alpha(k)$

Lembrando que [Eq. I (c-16)].

$$x_n = - \frac{d\alpha}{dk} \Big|_{k=k_0} = \frac{d\omega(k)}{dk} \Big|_{k=k_0} = vt + x_0$$

$$\text{Assim: } V_G(k_0) = \frac{d\omega}{dk} \Big|_{k=k_0} = \frac{d}{dk} \left( \frac{\hbar k}{2m} \right) \Big|_{k=k_0} = \frac{\hbar k_0}{m} = \frac{p_0}{m}$$

$$\text{Então: } V_G(k_0) = \frac{2}{k_0} \frac{\hbar k_0}{2m} = \frac{2}{k_0} \omega_0 = 2 \frac{\omega_0}{k_0} = 2 V_F(k_0)$$

Noté que a velocidade de grupo  $V_G(k_0)$ , que é a velocidade do centro do pacote de ondas, recuperada a velocida clássica  $v_0 = \frac{p_0}{m}$ , no limite onde essa descrição pode ser feita ( $\Delta x \ll \lambda$  e  $q \mu$  desproporcionais).